

# ТЕПЛОЭНЕРГЕТИКА

УДК 681.52.01

## ОЦЕНКА КАЧЕСТВА РЕГУЛИРОВАНИЯ УРОВНЯ ЖИДКОСТИ В СИСТЕМАХ ТЕПЛОСНАБЖЕНИЯ

**С.В. Панферов, А.И. Телегин**  
*г. Миасс, филиал ЮУрГУ*

## QUALITY ESTIMATION OF THE CHOICE AND ADJUSTMENT OF AUTOMATIC REGULATOR OF LEVEL OF THE LIQUID

**S.V. Panferov, A.I. Telegin**  
*Branch of SEI HPE «SUSU» in Miass*

Рассматривается задача структурно-параметрического синтеза системы автоматического регулирования уровня жидкости. Приводится структура и параметры настройки квазиоптимального регулятора. Анализируются устойчивость системы и качество переходных процессов в ней.

**Ключевые слова:** автоматический регулятор, уровень жидкости, структура, параметры настройки, устойчивость, качество переходных процессов.

The problem of structurally-parametrical synthesis of system of automatic control of level of a liquid is considered. The structure and adjustment parameters of a regulator are given. Stability of system and quality of transients in it are analyzed.

**Keywords:** automatic regulator, liquid level, structure, adjustment parameters, stability, quality of transients.

**Введение.** В настоящее время в системах теплоснабжения для автоматического регулирования различных переменных технологических процессов широко используются ПИД-регуляторы и их частные варианты. Накоплен огромнейший опыт применения таких регуляторов, в частности, разработаны и апробированы различные способы их настройки. Вместе с тем, как неоднократно отмечает В.Я. Ротач в своем сравнительно недавно изданном учебнике [1], алгоритмы П-, ПИ- и ПИД-регуляторов «...были получены чисто эвристическим путем» [1, с. 82] и что «... достаточно убедительное формальное доказательство целесообразности их применения ... до сих пор получить не удалось» [1, с. 24]. Поэтому представляют интерес всякие попытки найти такое обоснование для ПИД-регуляторов.

**1. Постановка задачи.** В работах [2, 3], как нам представляется, удалось получить некоторое формальное обоснование целесообразности применения ПИД-регуляторов, здесь задача решалась методом «подгонки» передаточной функции замкнутой системы к некоторому достаточно разумному и практически достижимому виду. Найдены эталонные структуры и настройки регуляторов для типовых динамических характеристик промышленных объектов управления, при этом установлено

но, что все эти регуляторы принадлежат ПИД-семейству. Казалось бы, что поставленная цель достигнута, однако для полноты исследования проблемы необходимо рассмотреть вопрос о качестве переходных процессов в таких системах и о грубости этих структур и настроек. Данная задача и решается в настоящей работе для объектов регулирования уровня жидкости, т.е. для объектов управления с передаточной функцией вида

$$W_{ob}(p) = \frac{1}{T_{ob}p} \exp(-\tau_{ob}p), \quad (1)$$

где  $T_{ob}$ ,  $\tau_{ob}$  – соответственно постоянная времени и время запаздывания объекта,  $p$  – комплексная переменная. Такими передаточными функциями описываются различные объекты регулирования уровня жидкостей в системах теплоснабжения: конденсаторы, деаэраторы, расширительные баки, выполняющие роль гидростатических стабилизаторов давления в заданных точках тепловой сети, и др.

При этом заметим, что согласно данным работ [2, 3], близким к идеальному для такого объекта является П-регулятор с коэффициентом передачи

$$k_p = \frac{T_{ob}}{\tau_{ob} + \theta}, \text{ где } \theta \text{ – достаточно малая постоянная времени.}$$

## Теплоэнергетика

**2. Процедура решения задачи.** Для анализа переходных процессов в системе с объектом управления данного типа разработаны две компьютерные программы: одна – для анализа переходных процессов при возмущении по заданию, а другая – при возмущении со стороны регулирующего органа. В каждой из разработанных программ предусмотрен ввод  $T_{об}$ ,  $\tau_{об}$  и коэффициента передачи П-регулятора, каждая из программ осуществляет не только построение графика переходного процесса, но и определяет перерегулирование  $\sigma$  и время регулирования  $t_p$ , а также вычисляет значения следующих критериев:

$$I_1 = \int_0^{t_K} |\varepsilon(t)| dt, \quad (2)$$

$$I_2 = \int_0^{t_K} \varepsilon^2(t) dt, \quad (3)$$

где  $\varepsilon(t) = x^3(t) - x(t)$  – ошибка регулирования (расхождение),  $x^3(t)$  и  $x(t)$  – соответственно заданное и действительное значение регулируемой величины,  $t$  – время,  $t_K$  – конечное время оценки переходного процесса. Здесь время регулирования  $t_p$  определялось как время, по истечении которого отклонение регулируемой величины от задания не будет превышать 5 %.

**3. Качество переходных процессов при возмущении по заданию.** В процессе вычислений установлено, что во всех случаях, когда  $k_p = \frac{T_{об}}{\tau_{об}}$

(параметр  $\theta$  полагается равным нулю) дифференциальное уравнение замкнутой системы автоматического регулирования (САР) будет иметь вид

$$\tau_{об} \frac{dx(t)}{dt} + x(t - \tau_{об}) = x^3(t - \tau_{об}). \quad (4)$$

Решая уравнение (4) для единичного ступенчатого воздействия, нашли, что во всех этих случаях  $\sigma \approx 49\%$ . Если численное значение  $k_p$  отличается от величины  $\frac{T_{об}}{\tau_{об}}$  ( $\theta \neq 0$ ), то изменяется и

величина перерегулирования. Полученные значения показателей качества переходного процесса, например, для случая, когда  $T_{об} = 15$  с,  $\tau_{об} = 5$  с, а  $k_p$  принимает различные значения в окрестности точки  $k_p = \frac{T_{об}}{\tau_{об}} = 3$  приведены в табл. 1.

Если принять, что  $T_{об} = 30$  с,  $\tau_{об} = 10$  с, то эталонная (базовая) настройка регулятора будет такой же, что и в предыдущем случае, а именно  $k_p = \frac{T_{об}}{\tau_{об}} = 3$ , показатели же качества переходного процесса будут следующими (табл. 2).

Если  $T_{об} = 15$  с,  $\tau_{об} = 3$  с, то эталонная настройка регулятора  $k_p = \frac{T_{об}}{\tau_{об}} = 5$ , показатели качества переходного процесса приведены в табл. 3.

Анализируя данные табл. 1, 2 и 3, можно отметить следующее: при эталонном (базовом) значении коэффициента передачи П-регулятора

Таблица 1

Показатели качества переходных процессов для  $T_{об} = 15$  с,  $\tau_{об} = 5$  с при возмущении по заданию

$k_p, \frac{\% \text{хода ИМ}}{\text{ед.рег.вел.}}$	0,5	1,0	1,5	1,75	2,0	2,5	3,0	3,5	4,0
$\sigma, \%$	0	0	3,43	9,30	16,3	31,79	49	64,4	80,7
$t_p, \text{с}$	79	32,4	17	25,4	24,8	33,2	42,2	69,8	99,8
$I_1, \text{ед.рег.вел.} \times \text{с}$	29,47	14,99	10,71	10,32	10,40	11,47	13,79	18,16	26,99
$I_2, \text{ед.рег.вел.}^2 \times \text{с}$	88,34	52,30	41,67	39,27	37,97	37,88	41,09	49,38	70,36

Таблица 2

Показатели качества переходных процессов для  $T_{об} = 30$  с,  $\tau_{об} = 10$  с при возмущении по заданию

$k_p, \frac{\% \text{хода ИМ}}{\text{ед.рег.вел.}}$	0,5	1,0	1,5	1,75	2,0	2,5	3,0	3,5	4,0
$\sigma, \%$	0	0	3,73	9,77	16,92	32,60	49	65,5	82,0
$t_p, \text{с}$	158	64,4	33,8	51,6	50,0	67	85	142	200
$I_1, \text{ед.рег.вел.} \times \text{с}$	58,96	29,99	21,55	20,84	21,06	23,35	28,25	37,52	56,51
$I_2, \text{ед.рег.вел.}^2 \times \text{с}$	176,9	104,9	83,81	79,08	76,56	76,69	83,66	101,5	147,9

$k_p = \frac{T_{об}}{\tau_{об}}$  перерегулирование  $\sigma$  в рассматривающих САР при различных значениях  $T_{об}, \tau_{об}$  получается практически одинаковым,  $\sigma \approx 47 - 49 \%$ . Время регулирования при прочих равных условиях растет прямо пропорционально росту ( $T_{об} + \tau_{об}$ ) и обратно пропорционально величине  $k_p = \frac{T_{об}}{\tau_{об}}$ .

Базовая настройка П-регулятора  $k_p = \frac{T_{об}}{\tau_{об}}$  является достаточно грубой (робастной), поскольку существует заметная окрестность точки  $k_p = \frac{T_{об}}{\tau_{об}}$ , в которой сохраняются приемлемое качество и запас устойчивости системы (заметим, что о запасе устойчивости можно судить непосредственно по семейству кривых переходного процесса, полученных при различных настройках регулятора). Из таблиц также видно, что настройки П-регулятора, оптимальные по критериям (2) и (3), не совпадают как между собой, так и каждая с базовой настройкой. Так, например, по табл. 1 базовое значение коэффициента передачи  $k_p = \frac{T_{об}}{\tau_{об}} = 3$ , вместе с тем

оптимальное по минимуму критерия  $I_1$  значение  $k_p = 1,75$ , а оптимальное по минимуму критерия  $I_2$  значение  $k_p = 2,5$ . Причем настройки, найденные из условия минимума критерия  $I_2$  заметно ближе к базовой настройке, в некоторых случаях их различие можно считать достаточно малым.

Очевидно, что все это объясняется как существом рассматриваемого метода синтеза САР, так и определенной погрешностью при его реализации.

**4. Качество переходных процессов при возмущении по нагрузке.** Показатели качества переходных процессов в САР при возмущении по нагрузке (со стороны регулирующего органа), например, для случая, представленного в табл.1, приведены в табл. 4.

Анализ полученных результатов показал, что величина перерегулирования  $\sigma$  при одинаковых настройках регулятора остается практически одной и той же как при возмущении по заданию, так и при возмущении со стороны регулирующего органа, несмотря на то, что  $\sigma$  в этих случаях вычисляется вообще-то по-разному [4, 5]. Кроме того, координаты точек минимума функций  $I_1 = f_1(k_p)$  и  $I_2 = f_2(k_p)$ , вычисленных для случая возмущения по нагрузке, также совпадают с аналогичными координатами в случае возмущения по заданию. По-видимому, данные обстоятельства подтверждают известное высказывание о том, что если САР оптимизирована для отработки возмущений по заданию, то одновременно достигается оптимум и при отработке возмущений по нагрузке [6].

Время регулирования  $t_p$  при прочих равных условиях при возмущении со стороны регулирующего органа меньше, чем в случае возмущения по заданию, что, в общем, достаточно объяснимо.

**5. Устойчивость САР.** Если робастность рассматривать как грубость системы по отношению к изменениям параметров объекта управления, то можно привести следующие результаты с учетом

Таблица 3

Показатели качества переходных процессов для  $T_{об} = 15 \text{ с}$ ,  $\tau_{об} = 3 \text{ с}$  при возмущении по заданию

$k_p, \frac{\% \text{ хода ИМ}}{\text{ед.рег.вел.}}$	2,5	3,0	3,5	4,0	4,5	5,0	5,5	6,0	6,5
$\sigma, \%$	3,03	9,98	18,45	27,59	37,06	46,66	56,4	66,08	75,76
$t_p, \text{с}$	10,2	15	14,6	19,6	19,4	25	30,6	41,6	58,2
$I_1, \text{ед.рег.вел.} \times \text{с}$	6,37	6,10	6,20	6,56	7,14	8,02	9,31	11,26	14,43
$I_2, \text{ед.рег.вел.}^2 \times \text{с}$	24,82	23,14	22,35	22,26	22,81	24,09	26,32	30,04	36,51

Таблица 4

Показатели качества переходных процессов для  $T_{об} = 15 \text{ с}$ ,  $\tau_{об} = 5 \text{ с}$  при возмущении по нагрузке

$k_p, \frac{\% \text{ хода ИМ}}{\text{ед.рег.вел.}}$	0,5	1,0	1,5	1,75	2,0	2,5	3,0	3,5	4,0
$\sigma, \%$	0	0	3,43	9,30	16,3	31,79	47,9	64,4	80,7
$t_p, \text{с}$	17,6	13,6	12,4	12,0	11,8	11,4	11,2	11,0	19,8
$I_1, \text{ед.рег.вел.} \times \text{с}$	0,391	0,199	0,143	0,137	0,138	0,153	0,184	0,241	0,354
$I_2 \times 10^2, \text{ед.рег.вел.}^2 \times \text{с}$	1,570	0,929	0,741	0,698	0,675	0,673	0,731	0,877	1,248

того, что все вышеизложенное можно интерпретировать и как анализ для данного случая. При этом нужно только считать, что регулятор настроен по параметрам объекта управления, имевшим место в недалеком прошлом, а в данный момент времени объект управления имеет те значения параметров, которые указаны в заголовках табл. 1, 2 и 3.

Если постоянная времени и время запаздывания объекта изменятся соответственно на  $\Delta T_{ob}$  и на  $\Delta \tau_{ob}$ , а регулятор будет иметь настройку, найденную по предыдущим значениям его параметров

$$k_p = \frac{T_{ob}}{\tau_{ob} + \theta},$$

то передаточная функция разомкнутой системы будет иметь вид

$$W_{pc}(p) = \frac{\exp(-\tau_{ob} p)}{(\theta + \tau_{ob})p} \cdot \frac{\exp(-\Delta \tau_{ob} p)}{(1 + \Delta T_{ob}/T_{ob})}. \quad \text{Используя}$$

критерий устойчивости Найквиста для систем с запаздыванием [7], нашли, что в этом случае критическая частота  $\omega_{kp} = \frac{1}{(\theta + \tau_{ob})(1 + \Delta T_{ob}/T_{ob})}$ , по этому условию устойчивости замкнутой системы автоматического регулирования (САР) в общем случае запишется так:

$$(\tau_{ob} + \Delta \tau_{ob}) / [(\theta + \tau_{ob})(1 + \Delta T_{ob}/T_{ob})] < \pi/2. \quad (5)$$

На координатной плоскости  $\Delta T_{ob}/T_{ob}$ ,  $\Delta \tau_{ob}/\tau_{ob}$  граница области устойчивости будет представляться следующей прямой (см. рисунок):

$$\frac{\Delta \tau_{ob}}{\tau_{ob}} = \frac{\pi(\tau_{ob} + \theta)}{2\tau_{ob}} \left(1 + \frac{\Delta T_{ob}}{T_{ob}}\right) - 1. \quad (6)$$

На рисунке область устойчивости – это область, расположенная правее своей границы

(штриховка направлена внутрь области). Причем нетрудно видеть, что с увеличением параметра  $\theta$  область устойчивости замкнутой САР расширяется, так как  $(\frac{\pi(\tau_{ob} + \theta)}{2\tau_{ob}} - 1)$  – точка пересечения прямой с осью ординат  $\Delta \tau_{ob}/\tau_{ob}$  с увеличением  $\theta$  ползет вверх, а  $(\frac{2\tau_{ob} - \pi\tau_{ob} - \pi\theta}{\pi(\tau_{ob} + \theta)})$  – точка пересечения прямой (6) с осью абсцисс  $\Delta T_{ob}/T_{ob}$  перемещается влево. При  $\theta=0$  область устойчивости будет иметь наименьший размер, однако при этом начало координат будет располагаться все-таки правее ее границы. Следовательно, при  $\theta=0$  САР имеет некоторый запас устойчивости относительно вариаций параметров  $\Delta \tau_{ob}$  и  $\Delta T_{ob}$ , с увеличением  $\theta$  область устойчивости [8] расширяется.

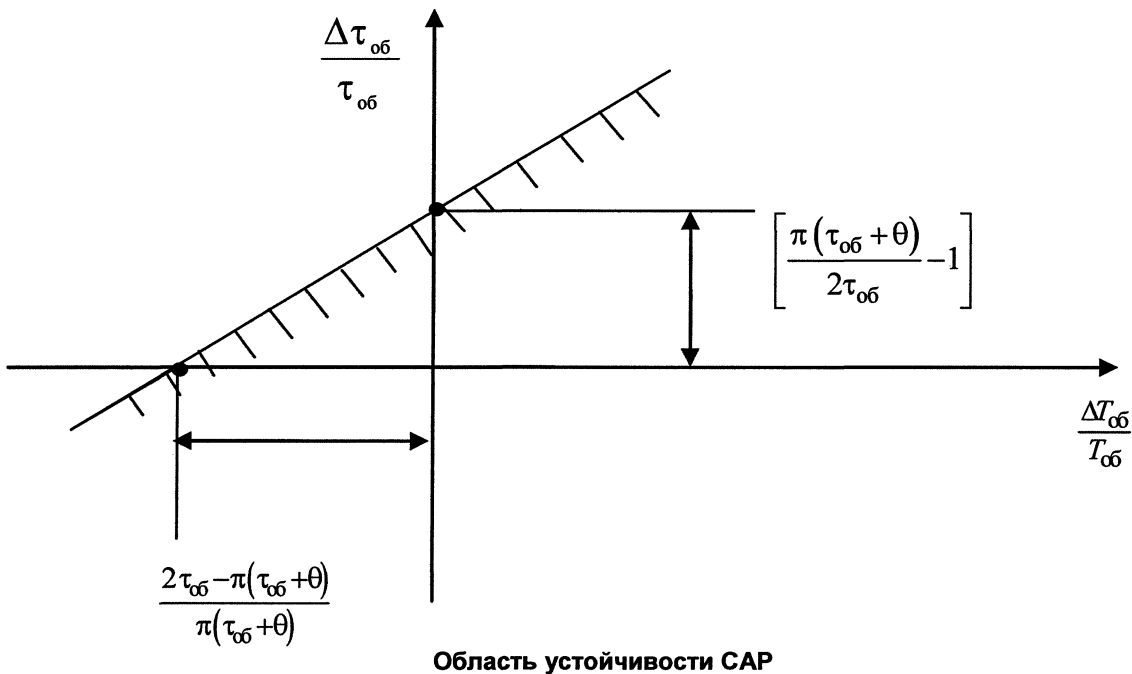
Передаточная функция замкнутой системы по задающему воздействию

$$W_{sc}(p) = \frac{\exp[-(\tau_{ob} + \Delta \tau_{ob})p]}{(\theta + \tau_{ob})(1 + \Delta T_{ob}/T_{ob})p + \exp[-(\tau_{ob} + \Delta \tau_{ob})p]}.$$

Отсюда следует, что дифференциальное уравнение САР будет иметь вид

$$(\theta + \tau_{ob})(1 + \Delta T_{ob}/T_{ob}) \frac{dx(t)}{dt} + x(t - \tau_{ob} - \Delta \tau_{ob}) = U(t - \tau_{ob} - \Delta \tau_{ob}), \quad (7)$$

где  $x$  – выходная (регулируемая) величина объекта,  $U$  – заданное значение регулируемой величины. Из (5) и из решения дифференциального уравнения (7) следует, что при  $\Delta T_{ob} > 0$  влияние этого



параметра на устойчивость (робастность устойчивости) и качество (робастность качества) САР аналогично влиянию параметра  $\theta$  [2, 3], т.е. колебательность переходной функции уменьшается с ростом  $\Delta T_{\text{об}}$ , переходный процесс все в большей степени приобретает апериодический характер. Для примера в табл. 5 приведены показатели качества переходных процессов в САР для случая, когда  $T_{\text{об}} = 15 \text{ с}$ ,  $\tau_{\text{об}} = 5 \text{ с}$ ,  $k_p = \frac{T_{\text{об}}}{\tau_{\text{об}}} = 3$ ,  $\Delta\tau_{\text{об}} = 0$ , а

$\Delta T_{\text{об}}$  принимает различные как положительные, так и отрицательные значения.

Аналогичные результаты получаются и при  $\Delta\tau_{\text{об}} < 0$ , т.е. с увеличением  $|\Delta\tau_{\text{об}}|$  демпфированность системы растет. Если же  $\Delta\tau_{\text{об}} > 0$ , то с увеличением  $\Delta\tau_{\text{об}}$  перерегулирование возрастает, ухудшаются как качество переходного процесса, так и запас устойчивости системы. В табл. 6 приведены показатели качества переходных процессов (ПП) в САР для случая, когда  $T_{\text{об}} = 15 \text{ с}$ ,  $\tau_{\text{об}} = 5 \text{ с}$ ,  $k_p = \frac{T_{\text{об}}}{\tau_{\text{об}}} = 3$ ,  $\Delta T_{\text{об}} = 0$ , а

$\Delta\tau_{\text{об}}$  принимает различные как положительные, так и отрицательные значения.

Выполненные расчеты показали, что если параметры объекта управления определены точно, то при  $\theta = 0 \text{ с}$  перерегулирование в данной САР  $\sigma \approx 49 \%$ . Если же время запаздывания модели объекта управления  $\tau_{\text{об}}$  (эта величина используется при вычислении настройки регулятора  $k_p = \frac{T_{\text{об}}}{\tau_{\text{об}} + \theta}$ ) меньше времени запаздывания, имеющего место на реальном объекте  $(\tau_{\text{об}} + \Delta\tau_{\text{об}})$ , то перерегулирование возрастает. Так, например, если  $\tau_{\text{об}} = 4 \text{ с}$ , а  $\Delta\tau_{\text{об}} = 1 \text{ с}$ , то  $\sigma = 72 \%$ . САР в

имеющего место на реальном объекте  $(\tau_{\text{об}} + \Delta\tau_{\text{об}})$ , то перерегулирование возрастает. Так, например, если  $\tau_{\text{об}} = 4 \text{ с}$ , а  $\Delta\tau_{\text{об}} = 1 \text{ с}$ , то  $\sigma = 72 \%$ . САР в

такой ситуации, когда из-за погрешности параметрической идентификации получилось, что  $\tau_{\text{об}} < (\tau_{\text{об}} + \Delta\tau_{\text{об}})$ , может и потерять устойчивость. В самом деле, если структура математической модели объекта и все ее параметры, кроме времени запаздывания, определены достаточно точно, то передаточная функция разомкнутой системы

$$W_{pc}(p) = \frac{\exp[-(\tau_{\text{об}} + \Delta\tau_{\text{об}})p]}{(\theta + \tau_{\text{об}})p}, \text{ поэтому САР будет}$$

устойчива лишь при выполнении следующего неравенства:  $(\tau_{\text{об}} + \Delta\tau_{\text{об}})/(\theta + \tau_{\text{об}}) < \pi/2$ . При  $\Delta\tau_{\text{об}} = 3 \text{ с}$  получили расходящийся переходный процесс, т.е. система потеряла устойчивость, что и следовало ожидать, так как  $(\tau_{\text{об}} + \Delta\tau_{\text{об}})/(\theta + \tau_{\text{об}}) = (5 + 3)/5 > \pi/2$  (табл. 6).

При отработке единичного ступенчатого задания  $U(t) = 1(t)$  при  $t \rightarrow \infty$   $x \rightarrow 1$ , т.е. САР астатическая по задающему воздействию. Передаточная функция системы по каналу «возмущение со стороны регулирующего органа – ошибка регулирования»  $W_{sc}^{po}(p) =$

$$= \frac{(\tau_{\text{об}} + \theta)\exp[-(\tau_{\text{об}} + \Delta\tau_{\text{об}})p]}{(\theta + \tau_{\text{об}})(T_{\text{об}} + \Delta T_{\text{об}})p + T_{\text{об}} \exp[-(\tau_{\text{об}} + \Delta\tau_{\text{об}})p]},$$

поэтому  $\lim W_{sc}^{po}(p) = \frac{\tau_{\text{об}} + \theta}{T_{\text{об}}}$  при  $p \rightarrow 0$ , следовательно, по данному каналу САР статическая, причем ошибка регулирования тем меньше, чем больше коэффициент передачи П-регулятора

$$k_p = \frac{T_{\text{об}}}{\tau + \theta}.$$

## Выводы

Как следует из вышеизложенного, рассматриваемый метод построения САР уровня жидкости выгодно отличается от других подходов к решению задачи однозначностью и достаточной про-

Таблица 5

Показатели качества переходных процессов для  $T_{\text{об}} = 15 \text{ с}$ ,  $\tau_{\text{об}} = 5 \text{ с}$   
при возмущении по заданию при различных значениях  $\Delta T_{\text{об}}$

$\Delta T_{\text{об}}, \text{с}$	+1	+3	+5	-1	-3	-5
$\sigma, \%$	41,89	31,79	23,89	55,02	72,49	97,04
$t_p, \text{с}$	42	33,2	32,2	51,6	88,6	157

Таблица 6

Показатели качества переходных процессов для  $T_{\text{об}} = 15 \text{ с}$ ,  $\tau_{\text{об}} = 5 \text{ с}$   
при возмущении по заданию при различных значениях  $\Delta\tau_{\text{об}}$

$\Delta\tau_{\text{об}}, \text{с}$	+1	+2	+3	-1	-2	-3
$\sigma, \%$	67,99	87,99	Расходящийся ПП	28,22	9,98	0,0005
$t_p, \text{с}$	85	195,6	Расходящийся ПП	26,4	15	9,8

стотой. В результате синтеза получается устойчивая система с приемлемыми свойствами по работоспособности.

## Литература

1. Ромач, В.Я. Теория автоматического управления: учебник для вузов / В.Я. Ромач. – М.: Издательство МЭИ, 2004. – 400 с.
2. Панферов, В.И. Об одном подходе к решению задачи выбора и настройки автоматических регуляторов / В.И. Панферов // Известия Челябинского научного центра. – 2004. – Вып. 4 (26). – С. 139–144.
3. Панферов, В.И. Выбор и настройки автоматических регуляторов в системах теплоснабжения / В.И. Панферов // Вестник ЮУрГУ. Серия «Строительство и архитектура». – 2005. – Вып 3. – № 13 (53). – С. 81–84.
4. Копелович, А.П. Инженерные методы расчета при выборе автоматических регуляторов / А.П. Копелович. – М.: Металлургиздат, 1960. – 190 с.
5. Проектирование систем контроля и автоматического регулирования металлургических процессов / Г.М. Глинков, В.А. Маковский, С.Л. Лотман, М.Р. Шапировский; под ред. Г.М. Глинкова. – М.: Металлургия, 1986. – 352 с.
6. Фрер, Ф. Введение в электронную технику регулирования / Ф. Фрер, Ф. Орттенбургер; пер. с нем. – М.: Энергия, 1973. – 190 с.
7. Воронов, А.А. Основы теории автоматического управления/ А.А. Воронов // Автоматическое регулирование непрерывных линейных систем: сб. науч. тр. – М.: Энергия, 1980. – 312 с.
8. Дорф, Р. Современные системы управления / Р. Дорф, Р. Бишоп; пер. с англ. – М.: Лаборатория базовых знаний, 2002. – 832 с.

Поступила в редакцию 03.11.2008 г.

**Панферов Сергей Владимирович** – аспирант кафедры «Системы управления и математическое моделирование» Миасского филиала ЮУрГУ. Область научных интересов: моделирование процессов в сложных системах управления. Контактный телефон: 8-(351) 267-91-44.

**Panferov Sergey Vladimirovich** – post-graduate student of the Control Systems and Mathematical Simulation department of the Miassky branch of SUSU. Scientific interests: simulation of processes in difficult control systems. Contact phone: 8-(351) 267-91-44.

**Телегин Александр Иванович** – д-р физ.-мат. наук, профессор, заведующий кафедрой «Системы управления и математическое моделирование» Миасского филиала ЮУрГУ. Область научных интересов: моделирование процессов в системах управления механическими и энергетическими объектами. Контактный телефон: 8-(3513) 53-22-61.

**Telegin alexander Ivanovich** – Dr. a fiz.-floor-mat. Sciences, the professor managing Control Systems and Mathematical Simulation department of the Miassky branch of SUSU. Scientific interests: simulation of processes in control systems of mechanical and power objects. Contact phone: 8-(3513) 53-22-61.